

# Спектр магнитостатических волн в ферромагнетике с движущейся сверхрешеткой доменных границ

© Е.А. Вилков

Институт радиотехники и электроники Российской академии наук (Ульяновское отделение),  
432011 Ульяновск, Россия

E-mail: vilkov@vens.ru

(Поступила в Редакцию 18 октября 2005 г.  
В окончательной редакции 30 января 2006 г.)

В безообменном магнитостатическом приближении рассмотрены спектральные свойства магнитостатических волн в ферромагнетике в присутствии движущейся периодической доменной структуры. Показано, что из-за доплеровского смещения частоты, вызванного движением доменных границ, спектр каждой моды магнитостатической волны расщепляется на две дисперсионные ветви: высокочастотную и низкочастотную. Раздвижка этих ветвей относительно спектра мод в присутствии статичной доменной структуры тем больше, чем больше номер моды.

Работа выполнена при финансовой поддержке „Фонда содействия отечественной науке“.

PACS: 75.60.-d, 75.60.Ch, 75.70.Kw

Несмотря на большое количество теоретических исследований, посвященных магнитостатическим волнам (МСВ) в магнетиках с периодической доменной структурой, все работы, выполненные в этом направлении, относятся к случаю статичной доменной структуры [1–3]. Между тем известно, что под внешним управляющим воздействием доменные границы (ДГ) могут перемещаться по кристаллу. Поэтому представляет теоретический интерес исследовать поведение МСВ в кристалле с движущейся периодической доменной структурой (ПДС). Возможная в этой связи оценка способности МСВ преобразовываться системой движущихся доменных границ важна, например, для изыскания новых способов передачи и преобразования сигнала.

Необходимо заметить, что, поскольку предметом изучения являются движущиеся ДГ, затрагиваемая проблема примыкает к кругу вопросов, рассматриваемых магнитодинамикой [4–6]. Однако в магнитодинамике внимание фиксируется на установлении условий устойчивого режима движения ДГ и описании характера возмущений, развивающихся как по внутренним (структурным) степеням свободы доменных стенок, так и в самом магнетике, что, например, имеет значение для решения проблемы генерации спиновых волн (см., [7,8]). Роль магнитодинамических исследований состоит как раз в том, что удастся выделить условия, при которых отсутствует возбуждение спиновых волн, а движение ДГ (в определенных скоростных интервалах) протекает без заметного изменения ее структуры. При этом ДГ можно полагать геометрическими и бесструктурными, а движение периодической системы ДГ рассматривать как заданное. В настоящей работе анализ влияния равномерного движения сверхрешетки доменных стенок на спектральные свойства магнитостатических волн выполнен в пренебрежении структурной чувствительности самих ДГ к управляющим внешним воздействиям.

Геометрия задачи представлена на рис. 1. Распространение плоской монохроматической МСВ происходит вдоль плоскостей (010) ориентированных  $180^\circ$  ДГ безграничного ферромагнетика (с одноосной или кубической анизотропией) в направлении оси  $z \parallel [001]$ . Пусть система ДГ образует сверхрешетку с периодом  $2d$ , где  $d \gg \Delta$  ( $d$  — расстояние между соседними ДГ,  $\Delta$  — толщина ДГ), которая равномерно движется со скоростью  $V_D \parallel y \parallel [010]$ . Примем, что в лабораторной (кристаллографической) системе отсчета  $xOyz$  перемещение ДГ происходит перпендикулярно оси  $z$  спонтанного намагничивания  $M_0^{(j)}$  в доменах ( $M_0^{(1)} \uparrow \downarrow M_0^{(2)} \parallel [001]$ ,  $j = 1, 2$ ). Обозначим текущую координату доменных стенок как  $y_n = V_D t + nd$ , где  $t$  — время,  $n = 0, \pm 1, \pm 2, \dots$ . Соответственно этому, принимая границу раздела соседних доменов геометрически тонкой и бесструктурной ( $k\Delta \ll 1$ ,  $k$  — волновое число МСВ), спонтанным на-

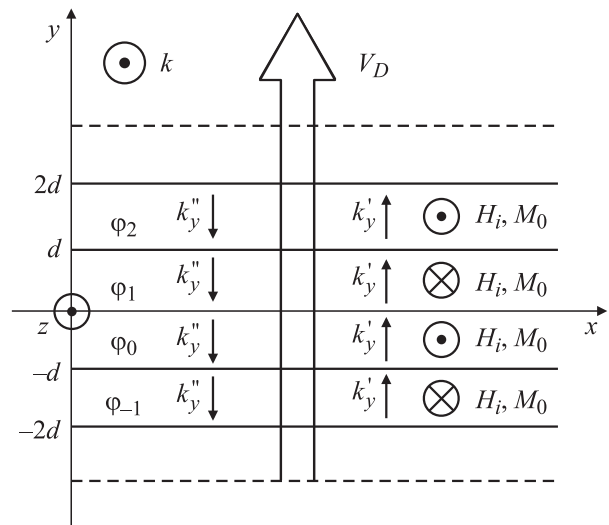


Рис. 1. Схема задачи.

магнитностями  $M_0^{(j)}$  и внутренним магнитным полям  $H_i^{(j)}$  в доменах предпишем значения

$$\begin{aligned} M_0^{(j)} &= (-1)^{j+1} M_0, \\ H_i^{(j)} &= (-1)^{j+1} H_i, \quad M_0 > 0, \quad H_i > 0, \end{aligned} \quad (1)$$

где  $j = 1$  при  $(n-1)d + V_D t < y < nd + V_D t$ ,  $j = 2$  при  $nd + V_D t < y < (n+1)d + V_D t$ ,  $n = 0, \pm 2, \pm 4, \dots$

Для того чтобы не учитывать процессы структурной динамической перестройки самовозбуждения доменных стенок при их перемещении [9], условимся, что кристалл находится вдали от фазового перехода, а  $V_D$  достаточно мало по сравнению с предельной уокеровской скоростью движения ДГ и не превышает скорости поперечных сдвиговых волн в ферромагнетике. При нарушении оговоренных условий необходимо рассматривать типичную для магнитодинамики задачу описания движения ДГ с учетом различных аспектов ее динамической устойчивости [4–6,9].

Примем далее, что объемная МСВ имеет волновой вектор  $\mathbf{k} = (0, 0, k)$ . Ограничиваясь магнитостатическим безобменным приближением, будем полагать, что длина волны МСВ много меньше характерного размера кристалла. В этом случае граничные эффекты на внешних границах ферромагнетика и его форма не влияют существенно на поведение МСВ и могут не учитываться.

Для построения решения перейдем от лабораторной системы отсчета к системе покоя ДГ  $\tilde{x}\tilde{y}\tilde{z}$ . Поскольку  $V_D \ll c$  ( $c$  — скорость света), связь координат выразим преобразованием Галилея

$$\tilde{x} = x, \quad \tilde{y} = y - V_D t, \quad \tilde{t} = t. \quad (2)$$

Соответственно возможна замена дифференциальных операторов по схеме

$$\frac{\partial}{\partial y} \leftrightarrow \frac{\partial}{\partial \tilde{y}}, \quad \frac{\partial}{\partial x} \leftrightarrow \frac{\partial}{\partial \tilde{x}}, \quad \frac{\partial}{\partial t} \leftrightarrow \frac{\partial}{\partial \tilde{t}} - V_D \frac{\partial}{\partial \tilde{y}}. \quad (3)$$

Магнитные потенциалы  $\varphi_l$  в доменах с номерами  $l = 0, \pm 1, \pm 2, \dots$  в избранной геометрии распространения удовлетворяют уравнению Уокера [1]

$$\mu^{(1)} \left( \frac{\partial^2 \varphi_1}{\partial \tilde{y}^2} \right) + \frac{\partial^2 \varphi_1}{\partial \tilde{z}^2} = 0, \quad (4)$$

которое ввиду (3) инвариантно относительно преобразования (2). Пусть домены с номерами 0, 1 и 2 расположены между ДГ с координатами  $-d < \tilde{y} < 0$ ,  $0 < \tilde{y} < d$ ,  $d < \tilde{y} < 2d$  соответственно. Решение уравнения (4) ищем в нулевом, первом и втором доменах (составляют элементарную ячейку, которая из-за периодичности расположения доменов повторяется по всему объему кристалла). Согласно общепринятому способу рассмотрения волн в периодических структурах [10], решение запишем в выбранных доменах с учетом условия трансляционной инвариантности

$\varphi_l(\tilde{y} + 2d) = \varphi_l(\tilde{y}) \exp(2ikd)$  ( $k$  — поперечное волновое число) в следующем виде:

$$\begin{aligned} \varphi_0 &= \left( A_0 e^{ik'_y(\tilde{y}+d)} + B_0 e^{-ik'_y\tilde{y}} \right) e^{i(k\tilde{z}-\Omega\tilde{t})}, \\ \varphi_1 &= \left( A_1 e^{ik''_y\tilde{y}} + B_1 e^{-ik'_y(\tilde{y}-d)} \right) e^{i(k\tilde{z}-\Omega\tilde{t})}, \\ \varphi_2 &= \left( A_0 e^{ik'_y(\tilde{y}-d)} + B_0 e^{-ik'_y(\tilde{y}-2d)} \right) e^{2ikd} e^{i(k\tilde{z}-\Omega\tilde{t})}, \end{aligned} \quad (5)$$

где  $\Omega = \omega' + k'_y V_D = \omega'' - k''_y V_D$  — частота МСВ в системе покоя ДГ.<sup>1</sup> Поскольку  $\varphi_l$  — периодическая функция  $k$  с периодом  $2d$ , можно считать, что  $0 \leq k \leq \pi/d$ . Согласно (5) магнитостатический потенциал в доменах можно представить в виде  $\varphi_l = \varphi'_l + \varphi''_l$ ,  $\varphi'_l$  и  $\varphi''_l$  — магнитные потенциалы волн с  $k'_y$ , сонаправленным оси  $\tilde{y}$ , и частотой в лабораторной системе отсчета  $\omega'$  и с  $k''_y$ , противоположным оси  $\tilde{y}$ , и частотой  $\omega''$  соответственно. Сопряжение МСВ на доменных границах при  $\tilde{y} = 0, d$  происходит благодаря удовлетворению граничным условиям: непрерывности магнитного потенциала и нормальной компоненты магнитной индукции,

$$\begin{aligned} \varphi'_0 + \varphi''_0|_{\tilde{y}=0} &= \varphi'_1 + \varphi''_1|_{\tilde{y}=0}, \\ \varphi'_1 + \varphi''_1|_{\tilde{y}=d} &= \varphi'_2 + \varphi''_2|_{\tilde{y}=d}, \\ -\mu' \frac{\partial \varphi'_0}{\partial \tilde{y}} - \mu'' \frac{\partial \varphi''_0}{\partial \tilde{y}}|_{\tilde{y}=0} &= -\mu' \frac{\partial \varphi'_1}{\partial \tilde{y}} - \mu'' \frac{\partial \varphi''_1}{\partial \tilde{y}}|_{\tilde{y}=0}, \\ -\mu' \frac{\partial \varphi'_1}{\partial \tilde{y}} - \mu'' \frac{\partial \varphi''_1}{\partial \tilde{y}}|_{\tilde{y}=d} &= -\mu' \frac{\partial \varphi'_2}{\partial \tilde{y}} - \mu'' \frac{\partial \varphi''_2}{\partial \tilde{y}}|_{\tilde{y}=d}, \end{aligned} \quad (6)$$

где  $\mu'$  и  $\mu''$  — компоненты тензора магнитной проницаемости. Они имеют следующий вид:

$$\begin{aligned} \mu' &= 1 + \frac{\omega_0 \omega_m}{\omega_0^2 - (\Omega + V_D k)^2}, \\ \mu'' &= 1 + \frac{\omega_0 \omega_m}{\omega_0^2 - (\Omega - V_D k)^2}. \end{aligned} \quad (7)$$

В (7)  $\omega_0 = \gamma H_i$ ,  $\omega_m = 4\pi\gamma M_0$ ,  $\gamma$  — магнитомеханическое отношение.

После подстановки (5) в граничные условия при  $\tilde{y} = 0, d$  с учетом (4), (7) из условия разрешимости образующейся системы однородных алгебраических уравнений относительно амплитуд  $A_{0,1}$  получим дисперсионное уравнение для МСВ на движущейся периодической доменной структуре

$$\begin{aligned} &(\sqrt{\mu'} + \sqrt{\mu''})^2 (1 - e^{i(k'_y + k''_y)d}) \\ &\times (e^{-2ikd} - e^{2ik'_y d}) (e^{2ikd} - e^{2ik'_y d}) = 0. \end{aligned} \quad (8)$$

Из (8) имеем следующие дисперсионные соотношения:

$$\begin{aligned} 1) \quad k''_y &= -k'_y, \quad 2) \quad k''_y + k'_y = 2\pi n/d, \quad n = 0, 1, \dots, \\ 3) \quad \kappa_1 &= -k''_y + m_- \pi/d, \quad m_- = 0, 1, \dots, \\ 4) \quad \kappa_2 &= k'_y + m_+ \pi/d, \quad m_+ = 0, 1, \dots \end{aligned} \quad (9)$$

<sup>1</sup> Равенство фаз магнитостатических волн на ДГ  $\omega' + k'_y V_D = \omega'' - k''_y V_D$  вытекает из метода фазовых инвариантов [11].

Если провести анализ выражений (9), можно сделать вывод о том, что первое и второе соотношения являются частным случаем третьего и четвертого. Поэтому далее без потери общности будут рассматриваться только два последних выражения. Они должны быть дополнены соотношением фазовых инвариантов

$$\omega' + k'_y V_D = \omega - k''_y V_D, \quad (10)$$

а также выражениями, которые можно получить из уравнения Уокера (4) путем подстановки в него решения (4)

$$\omega'^2 = \frac{\omega_k^2 + \omega_0^2 (k'_y/k)^2}{1 + (k'_y/k)^2}, \quad \omega''^2 = \frac{\omega_k^2 + \omega_0^2 (k''_y/k)^2}{1 + (k''_y/k)^2}, \quad (11)$$

где  $\omega_k = \omega_0(\omega_0 + \omega_m)$ .

В случае  $V_D = 0$  уравнения (9), (10), (11) переходят в дисперсионное соотношение, полученное ранее в [2],

$$\omega^2 = \frac{\omega_k^2 + \omega_0^2 (\kappa/k + \pi m_+ / kd)^2}{1 + (\kappa/k + \pi m_+ / kd)^2},$$

$$\omega^2 = \frac{\omega_k^2 + \omega_0^2 (-\kappa/k + \pi m_- / kd)^2}{1 + (-\kappa/k + \pi m_- / kd)^2}, \quad m_{+-} = 0, 1, \dots \quad (12)$$

В [2] зависимость  $\omega(k)$  (12) была рассчитана в предположении, что величина  $\kappa$  известна, и, наоборот, зависимость  $\omega(\kappa)$  получена при фиксированном значении волнового числа  $k$ . Из (12) также видно, что спектр  $\omega(k)$  мод магнитоэлектронной волны лежит в пределах  $\omega_0 < \omega \leq \omega_k$ .

Для движущейся решетки ( $V_D \neq 0$ ) для нахождения спектра МСВ доменных стенок необходимо рассматривать уравнения (9), (10), (11) совместно. Полагая величину блоховского волнового числа  $\kappa_1$  известной (из промежутка  $0 \leq \kappa \leq \pi/d$ ), выражаем  $k''_y$  согласно третьей формуле из (9). Затем определяем  $k'_y$  из формулы (10) через  $k''_y$  и разность  $\omega' - \omega$  и подставляем выражение, определяющее  $k'_y$ , в первое уравнение (11). После соответствующих преобразований можно получить следующее уравнение:

$$x^3 + 2x^2 (\omega'' + k''_y V_D) + x \left[ (\omega'' + k''_y V_D)^2 + 2k''_y V_D \omega'' - \omega_k^2 + k^2 V_D^2 \right] + 2k''_y V_D (\omega''^2 - \omega_k^2) + 2\omega'' V_D^2 (k^2 + k''_y{}^2) = 0, \quad (13)$$

где  $x = (\omega' - \omega'')$ ,  $\omega'$  — неизвестная величина, а  $\omega''$  рассчитывается по формулам (9), (11) через фиксированную величину блоховского волнового числа  $\kappa_1$  и переменное значение волнового числа  $k$ . Решая кубическое уравнение (13) относительно неизвестной величины  $\omega'$ , находим зависимость  $\omega'(k)$ . Для нахождения зависимости  $\omega'(\kappa)$  необходимо проделать такие же преобразования, считая только, что величина  $k$  известна. Спектры

$\omega''(k)$  или  $\omega''(\kappa)$  с учетом движения ДГ находятся из решения уравнения, аналогичного уравнению (13),

$$x^3 + 2x^2 (-\omega' + k'_y V_D) + x \left[ (\omega' - k'_y V_D)^2 - 2k'_y V_D \omega' - \omega_k^2 + k^2 V_D^2 \right] + 2k'_y V_D (\omega'^2 - \omega_k^2) + 2\omega' V_D^2 (k^2 + k'^2) = 0, \quad (14)$$

где  $x = (\omega' - \omega'')$ . Величина  $\omega'$  определяется по формулам (9), (11) через фиксированную (переменную) величину блоховского волнового числа  $\kappa_2$  и переменное (фиксированное) значение волнового числа  $k$ .

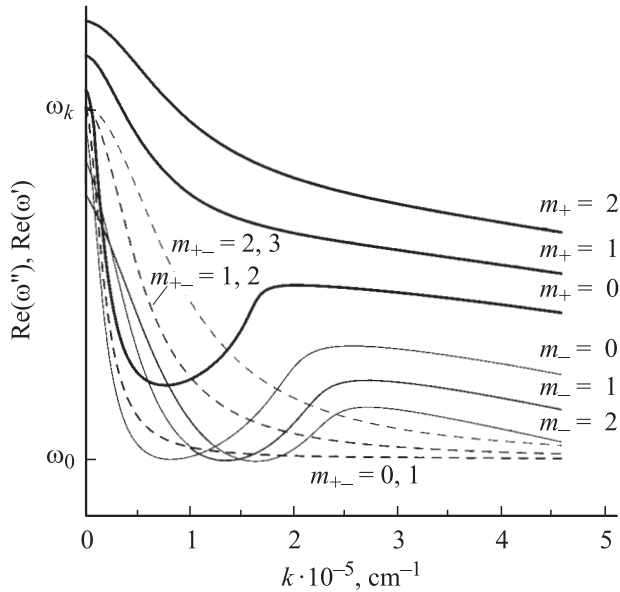
Уравнения (13) и (14) отличаются друг от друга. Поэтому естественно предположить, что при любых значениях  $m_+$  и  $m_-$  зависимости  $\omega'(k)$  и  $\omega''(k)$  будут лежать в разных областях плоскости спектральных переменных  $\omega'$  и  $k$ . Это существенное отличие от случая  $V_D = 0$ , для которого, согласно (12), спектры волн с распространением в положительном направлении оси  $y$  ( $k_y \uparrow y$ ), первое выражение в (12) и спектр МСВ с распространением противоположно оси  $y$  ( $k_y \downarrow y$ ), второе выражение в (12) совпадают при  $m_{+-} = 0$  и 1,  $m_{+-} = 1$  и 2 и т.д. соответственно. При этом, согласно (13), (14), разница в спектрах  $\omega'(k)$  и  $\omega''(k)$  для одинаковых значений  $m_+$  и  $m_-$  тем больше, чем выше скорость  $V_D$ . Такой эффект „расщепления“ спектра для движущейся сверхрешетки объясняется доплеровским смещением частоты МСВ в результате взаимодействия ее с движущимися ДГ. Рассматриваемый эффект фактически представляет аналог рассеяния Мандельштама–Бриллюэна [12]. Исходя из этого, можно предположить, что при  $V_D > 0$  ( $V_D \uparrow \uparrow OY$ ) для волны с  $k'_y \uparrow \uparrow \tilde{y}$  спектральная зависимость  $\omega'(k)$  будет лежать выше спектра МСВ в случае статичной решетки ДГ, а спектр волн  $\omega''(k)$  с  $k''_y \downarrow \uparrow y$  будет располагаться соответственно ниже.

Рассчитанный по формулам (13), (14) спектр МСВ в присутствии движущейся сверхрешетки ДГ с  $V_D > 0$  ( $V_D \parallel OY$ ) показан в плоскости спектральных переменных  $k$ ,  $\omega$  на рис. 2 тонкими (волна с  $k''_y \downarrow \uparrow \tilde{y}$ ) и утолщенными (волна с  $k'_y \uparrow \uparrow \tilde{y}$ ) кривыми. Здесь же штриховые кривые представляют спектр МСВ для статичной доменной структуры, рассчитанный по формулам (12). Видно, что как и в случае движущейся ПДС, так и в случае статичной ПДС спектр МСВ состоит из большого числа спектров мод магнитоэлектронной волны. Расчеты для этого и последующих рисунков выполнены для железитриугольного граната с параметрами  $\omega_0 = 1.4 \cdot 10^{10} \text{ sec}^{-1}$ ,  $\omega_m = 3.5 \cdot 10^{10} \text{ sec}^{-1}$ . Для нормировки скорости ДГ использовано значение скорости акустических поперечных волн  $c_t = 3.8 \cdot 10^5 \text{ cm/sec}$ .

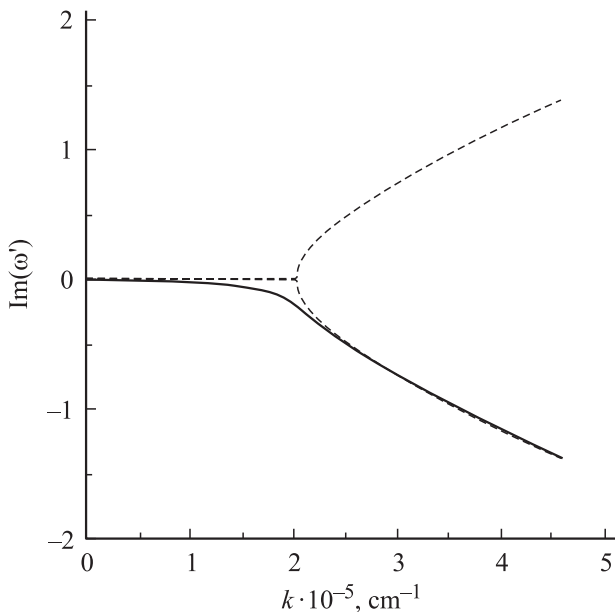
Из двух возможных действительных решений (при действительном  $k$ )<sup>2</sup> каждого из кубических уравне-

<sup>2</sup> Отбор корней производился при учете затухания МСВ путем замены в (13), (14)  $k \rightarrow k(1 + i\alpha)$ , где  $\alpha \ll 1$  определяет уровень затухания.

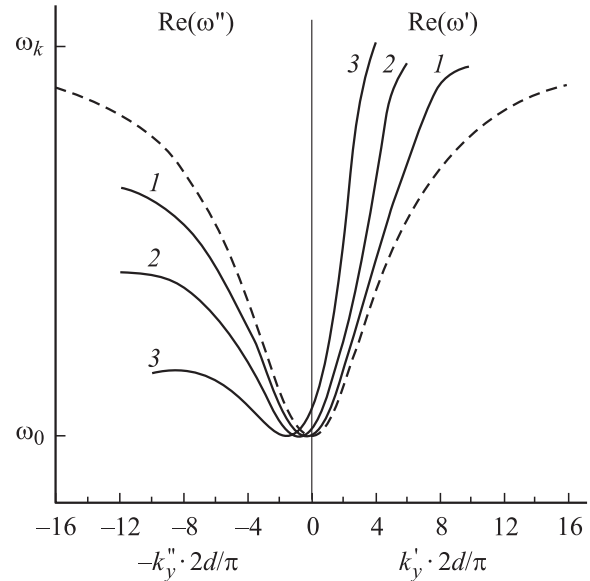
ний (13) и (14) на рис. 2 оставлен только один корень, описывающий затухающие магнитостатические колебания. Другой корень этих уравнений описывает физически нереализуемые по условию предельного перехода  $V_D \rightarrow 0$ , нарастающие в данных условиях магнитостатические волны. Демонстрацией этому служит рис. 3, на котором верхняя штриховая кривая соответствует отбрасываемому корню уравнения (13) с  $\text{Im}(\omega') > 0$ .



**Рис. 2.** Зависимости действительной части частоты МСВ от волнового вектора для случая  $\kappa_1 = \kappa_2 = \pi/2d$ ,  $d = 10^{-4}$  см,  $V_D/c_t = 0.1$ ,  $\alpha = 0.05$ .



**Рис. 3.** Зависимость мнимой части МСВ от волнового вектора в присутствии движущейся периодической доменной структуры для случая  $\kappa_1 = \kappa_2 = \pi/2d$ ,  $V_D/c_t = 0.1$ ,  $d = 10^{-4}$  см,  $m_- = 1$ . Штриховые кривые —  $\alpha = 0$ . Сплошная кривая —  $\alpha = 0.05$ .



**Рис. 4.** Зависимость действительной части частоты МСВ от приведенного поперечного волнового числа для случая  $k = 10^5$  см $^{-1}$ ,  $k_y'' = -\pi/2d + \pi m_-/d$ ,  $k_y' = \pi/2d + \pi m_+/d$ ,  $d = 10^{-4}$  см,  $\alpha = 0.05$ . Сплошные кривые 1 —  $V_D/c_t = 0.02$ , 2 —  $V_D/c_t = 0.05$ , 3 —  $V_D/c_t = 0.1$ . Штриховые кривые —  $V_D/c_t = 0$ .

Кроме того, в расчетах принималось для наглядности представления спектра, что  $\kappa_1 = \kappa_2$ , что соответствует случаю 2) в (9), т.е.  $k_y'' + k_y' = 2\pi n/d$ . Если положить, что  $\kappa_1 \neq \kappa_2$ , то для каждого блоховского числа в соответствии с (12) будет своя серия спектров МСВ при  $V_D = 0$ , что естественно усложнит картину спектра в целом, однако принципиально картины не изменит.

Как предполагалось выше, дисперсионный спектр МСВ в кристалле с ПДС в результате движения ДГ расщепляется на компоненты с положительным (утолщенные сплошные кривые, распространение в положительном направлении оси  $y$ ) и отрицательным (тонкие сплошные кривые, распространение в отрицательном направлении оси  $y$ ) доплеровским сдвигом. Это означает, что, если рассматривать моду этих волн одного и того же номера, их спектр будет располагаться выше и ниже спектра моды МСВ с тем же номером в присутствии статичной ПДС. Отступление от такого расположения дисперсионных ветвей в коротковолновой области спектра (т.е. низкочастотные ветви проходят выше спектра МСВ при  $V_D = 0$ , рис. 2) можно объяснить нарушением условия магнитостатического приближения.<sup>3</sup> Из рис. 2 так же видно, что доплеровская „раздвижка“ ветвей тем сильнее, чем больше номер моды. Установлено также, что существенная трансформация спектра мод за счет движения ДГ для кристалла ЖИГ происходит, если  $d < 10^{-4}$  см. Это означает нарушение неравенства  $d \gg \Delta$ , принимаемого по условию задачи. В этом случае

<sup>3</sup> Для ЖИГ граница безобменных волновых чисел определяется значением  $k \approx 10^5$  см $^{-1}$ .

для корректного анализа поведения МСВ в присутствии периодической доменной структуры необходимо рассматривать ферромагнетик как неоднородную магнитную среду с периодическим изменением намагниченности или описывать ПДС в модели мелкослоистой сверхрешетки [13].

Зависимости  $\omega''(k_y'')$  и  $\omega'(k_y')$  представлены на рис. 4. Штриховые кривые представляют спектр МСВ для случая статичной ПДС. Для наглядности представления каждая следующая зона (с  $m_+$  или  $m_-$  большим на единицу) смещена относительно последнего значения  $k_y' 2d/\pi$  или  $-k_y' 2d/\pi$  предыдущей зоны на 2 или  $-2$ . В первую очередь обращает на себя внимание тот факт, что как при  $V_D = 0$ , так и при  $V_D \neq 0$  в геометрии распространения волн параллельно намагниченностям в доменах отсутствует зонный характер спектра. Для большинства же спектров волн различной природы, распространяющихся в периодических структурах, разрешенные зоны чередуются с запрещенными. В [2] отмечалось, что запрещенные зоны возникают, если волновой вектор  $\mathbf{k}$  в плоскости  $XZ$  направлен под углом к векторам намагниченности. Из рис. 3 также видно, что спектр МСВ вследствие движения ДГ становится асимметричным относительно оси частот, что свидетельствует об индуцированной движением невязимости распространения волн спектр МСВ.

## Список литературы

- [1] Г.А. Вугальтер, И.А. Гилинский. Изв. вузов. Радиофизика **32**, 10, 1187 (1989).
- [2] И.А. Гилинский, Р.Г. Минц. ЖЭТФ **59**, 10, 1230 (1970).
- [3] М.А. Сигал. ЖТФ **59**, 10, 137 (1989).
- [4] J.M. Winter. Phys. Rev. **124**, 2, 452 (1961).
- [5] А.К. Звездин, А.Ф. Попков. Письма в ЖЭТФ **39**, 8, 348 (1984).
- [6] В.Г. Барьяхтар, Б.А. Иванов, М.В. Четкин. УФН **146**, 3, 417 (1985).
- [7] F.G. Bass, N.N. Nasonov, O.V. Naumenko. Phys. Stat. Sol. (b) **146**, 1, 61 (1988).
- [8] Л.Г. Потемина. ЖЭТФ **90**, 3, 964 (1986).
- [9] Б.Н. Филиппов, А.П. Танкеев. Динамические эффекты в ферромагнетиках с доменной структурой. Наука, М. (1987). 216 с.
- [10] Б.М. Болотовский, С.Н. Столяров. УФН **159**, 1, 155 (1989).
- [11] Ф.Г. Басс, А.А. Булгаков, А.П. Тетервов. Высоочастотные свойства полупроводников со сверхрешетками. Наука, М. (1989). 288 с.
- [12] И.Л. Фабеленский. Молекулярное рассеяние света. Наука, М. (1965). 511 с.
- [13] О.С. Тарасенко, С.В. Тарасенко, В.М. Юрченко. ФТТ **47**, 3, 556 (2005).